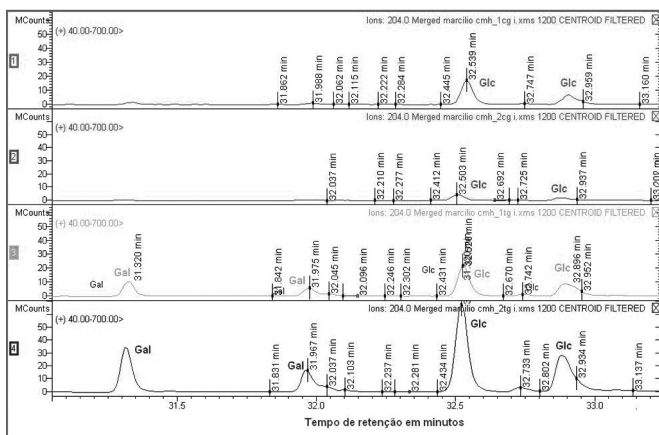


Figura 2d.

**Figura 2.** Fotomicrografia de imunofluorescência indireta onde percebe-se a diferença de reatividade das células de CEC em comparação com as células da mucosa normal ao MoAb DH2 (AntiGM3).

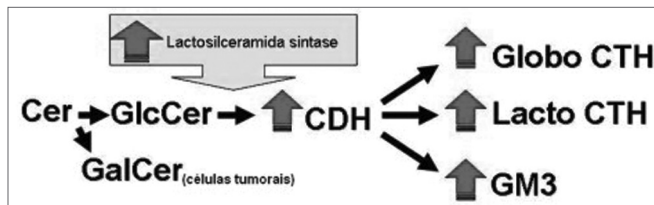
- A. células de CEC imunocoradas com DH2 (verde).
- B. células da mucosa normal marcadas com DH2 (verde).
- C. núcleo das células de CEC coradas com DAPI (azul).
- D. núcleo das células da mucosa normal coradas com DAPI (azul).



**Figura 3.** Espectrometria de massa dos CMHs.

Os traçados superiores (A e B) mostram a identificação dos resíduos de açúcar da fração do CMH da mucosa do trato aerodigestivo superior. Os traçados C e D correspondem a identificação dos resíduos de açúcar da fração CMH do CEC.

Gal – galactose, Glc – glucose



**Figura 4.** Esquema proposto da via de síntese dos gangliosídeos para explicar o aumento da expressão de GSLs no CEC do trato aerodigestivo superior. A maior atividade da lactosilceramida sintase aumentaria a expressão do GM3, CTH e CDH e consequentemente reduziria a oferta de Glc para síntese do GlcCer necessitando as células do CEC utilizar Gal para produzir GalCer e manter a estrutura da membrana celular.

VOLUME 72 EDIÇÃO 4 - Jul/Ago 2006

**Distonia laríngea de adução: proposta e avaliação de protocolo de nasofibrolaringoscopia**

**Adduction laryngeal dystonia: proposal and evaluation of nasofibroscopy**

Noemi Grigoletto De Biase • Paula Lorenzon • Mariana Dantas Aumond Lebl • Marina Padovani • Ingrid Gielow • Glauçya Madazio • Miriam Moraes

Correção da titulação da autora Miriam Moraes.

<sup>7</sup> Fonoaudióloga **especializanda** em voz pelo CEV - Centro de Estudos da Voz. Fonoaudióloga colaboradora do Setor de Laringe e Voz.